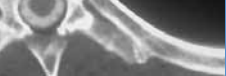


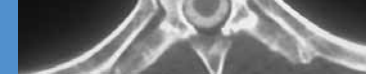
Inhaltsverzeichnis

Computertomographie des Kopfes

| | |
|---|------------|
| Anatomie des Kopfes | 3 |
| 1 Propädeutik | 9 |
| Wichtige zerebrale Befunde | 10 |
| Technik | 25 |
| 2 Traumatische Veränderungen | 35 |
| Schädelfrakturen | 36 |
| Kontusionsherde | 38 |
| Epidurales Hämatom | 40 |
| Traumatische Subarachnoidalblutung | 43 |
| Subdurales Hämatom | 44 |
| Subdurales Hygrom | 48 |
| 3 Vaskulär bedingte Hirnerkrankungen | 61 |
| Hirninfarkte | 62 |
| Hypertone Massenblutung | 80 |
| Arteriovenöse Malformationen | 84 |
| Kavernome | 87 |
| Aneurysmen – Subarachnoidalblutung | 88 |
| Thrombosen | 93 |
| 4 Entzündliche Veränderungen | 103 |
| Bakterieller Hirnabszess | 104 |
| Tuberkulose | 106 |
| Sarkoidose | 109 |
| Aspergillose | 110 |
| Herpes-simplex-Virus-Enzephalitis | 111 |
| Meningoenzephalitis durch <i>Bacillus anthracis</i> | 112 |
| Toxoplasmose | 113 |
| Kryptokokkose | 116 |
| Neurozystikerose | 117 |
| Nokardiose | 119 |
| Listeriose | 120 |
| Borreliose | 120 |
| Neurosyphilis | 122 |
| Neurobrucellose | 123 |
| Progressive multifokale Leukenzephalopathie | 123 |
| Progressive diffuse Leukenzephalopathie | 126 |



| | | | |
|--|-----|--|-----|
| 5 Intrakraniale Tumoren | 133 | | |
| Allgemeine Symptomatik | 134 | Tumoren der Hirnnerven | 159 |
| Neuroepitheliale Tumoren | 135 | Schwannom (Neurinom) | 159 |
| Gliome | 135 | Neurofibrome | 163 |
| Pleomorphes Xanthoastrozytom | 143 | Tumoren der Meningen | 164 |
| Subependymale Riesenzellastrozytome | 144 | Meningeom | 164 |
| Ependymale Tumoren | 145 | Lipome | 170 |
| Ependymom | 145 | Fibröses Histiozytom | 171 |
| Subependymome | 147 | Hämangioperizytom | 172 |
| Tumoren des Plexus choroideus | 148 | Rhabdomyosarkom | 173 |
| Plexuspapillom, Karzinom des Plexus choroideus | 148 | Hämangioblastom | 174 |
| Neuroepitheliale Tumoren unbekannter Herkunft | 149 | Lymphome | 175 |
| Gliomatosis cerebri | 149 | Lymphom | 175 |
| Neuronale und gemischte neuronale/gliale Tumoren | 150 | Plasmozytom | 178 |
| Gangliozytom | 150 | Keimzelltumoren | 179 |
| Gangliogliom | 151 | Geminom | 179 |
| Zentrales Neurozytom | 152 | Teratom | 180 |
| Ästhesioneuroblastom | 153 | Zysten und tumorähnliche Läsionen | 181 |
| Tumoren des Corpus-pineale-Parenchyms ... | 154 | Rathke-Zysten | 181 |
| Pineozytom, Pineoblastom, Corpus-pineale-Zyste | 154 | Epidermoid | 182 |
| Embryonale Tumoren | 155 | Dermoid | 183 |
| Medulloepitheliom | 155 | Kolloidzyste | 184 |
| Neuroblastom | 156 | Tumoren der Sellaregion | 185 |
| Ependymoblastom | 157 | Hypophysenadenom | 185 |
| Primitiver neuroektodermaler Tumor/Medulloblastom | 157 | Kraniopharynggeom | 188 |
| | | Chordom | 189 |
| | | Chondrome, Chondrosarkome | 191 |
| | | Karzinome | 192 |
| | | Metastasen | 193 |
| 6 Degenerative und demyelinisierende Hirnerkrankungen | 209 | | |
| Degenerative Erkrankungen | 210 | Andere radiologische Befunde bei Demenz | 219 |
| Morbus Alzheimer | 211 | Normaldruckhydrozephalus | 219 |
| Morbus Pick | 213 | Multiinfarktdemenz | 220 |
| Zerebrale Amyloidablagerungen | 214 | Erkrankungen der weißen Hirnsubstanz | 221 |
| Morbus Parkinson | 214 | Encephalomyelitis disseminata (multiple Sklerose) | 222 |
| Multisystematrophie | 217 | Zentrale pontine Myelinolyse | 224 |
| Morbus Huntington und Morbus Wilson | 218 | Hydrozephalus | 224 |
| 7 Angeborene Hirnerkrankungen | 229 | | |
| Phakomatosen | 230 | Dandy-Walker-Malformation | 235 |
| Neurofibromatose Typ 1 | 230 | Arachnoidalzysten | 236 |
| Neurofibromatose Typ 2 | 232 | Balkendysplasien | 238 |
| Hippel-Lindau-Erkrankung | 232 | Chiari-Malformation | 239 |
| Sturge-Weber-Erkrankung | 233 | | |
| Tuberöse Sklerose | 234 | | |



8 Postoperative Befunde und Verlaufskontrollen 245

| | | | |
|---|-----|---|-----|
| Ventrikuloperitonealer Shunt | 246 | Komplikationen nach Sinuschirurgie, Rhinoliquorrhö | 248 |
| Postoperative Kontrollen nach Tumorresektion | 247 | | |

9 Gesichtsschädel und Schädelbasis 251

| | | | |
|---|-----|--|-----|
| Grundlagen | 252 | Morbus Paget | 266 |
| Stellenwert der CT | 252 | Meningeom der Schädelbasis | 267 |
| Häufige Indikationen | 252 | Ästhesioneuroblastom | 269 |
| Fehlbildungen und funktionelle Störungen | 253 | Epidermoid und Dermoid | 269 |
| Entzündungen der Nasennebenhöhlen | 254 | Aneurysmatische Knochenzyste | 270 |
| Choanalatresie | 255 | Riesenzelltumor | 271 |
| Tornwaldt-Zyste | 256 | Osteochondrom | 271 |
| Otosklerose | 256 | Ossifizierendes Fibrom | 272 |
| Tumoren und Raumforderungen | 257 | Cholesteringranulom | 274 |
| Odontogene Tumoren | 258 | Cholesteatom | 275 |
| Ameloblastom | 259 | Glomustumor (Paragangliom) | 276 |
| Odontom | 260 | Tumoren in Pharynx, Nasenhöhle und Nasennebenhöhlen | 278 |
| Zementom | 260 | Schwannom | 281 |
| Zystische Läsionen des Ober- und Unterkiefers | 261 | Traumafolgen | 283 |
| Mukozele und Pyozele | 262 | Mittelgesichts- und Schädelbasisfrakturen | 283 |
| Papillom | 263 | | |
| Fibröse Dysplasie | 264 | | |

Computertomographie der Wirbelsäule

| | |
|---------------------------------------|-----|
| Anatomie der Wirbelsäule | 295 |
|---------------------------------------|-----|

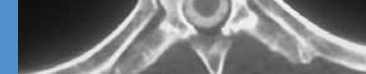
10 Propädeutik 301

| | | | |
|---|-----|-------------------------------------|-----|
| Häufige Indikationen | 302 | Einzelschichttechnik | 305 |
| Bandscheibenprolaps | 302 | Spiral-CT-Technik | 305 |
| Fraktur/Trauma | 303 | Durchführung der Untersuchung | 307 |
| Raumforderungen | 303 | Kontrastmittel | 308 |
| Beurteilung und Befunderstellung | 304 | Intravenöses Kontrastmittel | 308 |
| Technik | 304 | Intrathekales Kontrastmittel | 308 |
| | | Auswertung der Untersuchung | 309 |

11 Anatomie 313

| | | | |
|---------------------------|-----|---|-----|
| Knochen | 314 | Bänder | 320 |
| Bandscheiben | 318 | Rückenmark und Spinalnervenwurzeln | 321 |
| Gefäße | 318 | Rückenmarkhäute | 323 |
| Arterien | 318 | Epiduralraum | 323 |
| Venen | 319 | | |

| | | | |
|--|-----|--|-----|
| 12 Angeborene funktionelle und strukturelle Veränderungen | 325 | | |
| Klippel-Feil-Syndrom | 326 | Lipomyeloschisis | 333 |
| Spinale Dysraphien | 328 | Spinale meningeale Zysten | 334 |
| Spina bifida | 328 | Angeborene Spinalkanalstenose | 335 |
| Myelomeningozele | 329 | Syringomyelie und Hydromyelie | 337 |
| „Tethered-cord“-Syndrom | 330 | | |
| Diastematomyelie (Myeloschisis) | 331 | | |
| 13 Verletzungen der Wirbelsäule | 341 | | |
| Frakturen | 342 | Thorakolumbale Wirbelkörperfrakturen | 349 |
| Zervikale Frakturen | 343 | Traumatischer Bandscheibenprolaps | 353 |
| Atlasfrakturen (HWK 1) | 343 | Blutungen | 353 |
| Axisfrakturen (HWK 2) | 344 | | |
| Subaxiale HWK-Frakturen (HWK 3–7) | 347 | | |
| 14 Degenerative Erkrankungen der Wirbelsäule | 355 | | |
| Degenerative Bandscheibenerkrankungen ... | 356 | Erworbene Spinalkanalstenose | 371 |
| Synovialisziste/Ganglion der Facettengelenke | 366 | Lumbale Spinalkanalstenose | 371 |
| Spondylose, Spondylolyse, Spondylolisthesis . | 368 | Zervikale Spinalkanalstenose | 373 |
| | | Osteoporose | 375 |
| 15 Spinale vaskuläre Erkrankungen | 381 | | |
| Spinale arteriovenöse Malformation | 382 | Spinale Blutungen | 386 |
| Kavernom | 386 | Spinale Subarachnoidalblutung | 388 |
| 16 Entzündliche Erkrankungen | 391 | | |
| Infektionen | 392 | Rheumatoide Arthritis | 400 |
| Diszitis | 392 | Morbus Paget (Ostitis deformans) | 402 |
| Spondylodiszitis | 394 | Multiple Sklerose (Encephalomyelitis disseminata) | 403 |
| Spondylitis/Osteomyelitis eines Wirbelkörpers | 396 | | |
| Epiduraler Abszess | 397 | | |
| Spinale Arachnoiditis/Arachnopathie | 398 | | |
| 17 Tumoren und Raumforderungen | 407 | | |
| Einteilung der intraspinalen Raumforderungen | 408 | Osteogene extradurale Raumforderungen ... | 414 |
| Extradurale Raumforderungen | 409 | Chordom | 414 |
| Metastasen | 409 | Eosinophiles Granulom | 415 |
| Lymphome | 412 | Riesenzelltumor/Osteoklastom | 416 |
| | | Osteoidosteom/Osteoblastom | 417 |



| | | | |
|--|-----|---|-----|
| Aneurysmatische Knochenzyste | 418 | Paragangliom | 433 |
| Wirbelkörperhämangiom | 419 | Medulloblastom | 434 |
| Osteosarkom | 421 | Epidermoid, Dermoid, Teratom | 435 |
| Fibröse Dysplasie | 422 | Intramedulläre Raumforderungen | 437 |
| Plasmozytom (multiples Myelom, Morbus Kahler) | 423 | Ependymom | 437 |
| Chondrosarkom | 425 | Astrozytom | 438 |
| Intradural-extramedulläre Raumforderungen | 426 | Pilozytisches Astrozytom | 439 |
| Meningeom | 426 | Hämangioblastom | 440 |
| Schwannom (Neurinom, Neurilemmom)/ Neurofibrom | 429 | Hämangioperizytom | 442 |
| | | | |
| 18 CT-gestützte Interventionen an der Wirbelsäule | 447 | | |
| | | | |
| Vertebroplastie | 448 | Epidurale Injektionen | 457 |
| Facettengelenkinfiltrationen und -umflutungen | 453 | Biopsie und Knochenstanze | 459 |
| Periradikuläre Therapie | 456 | | |
| | | | |
| Sachverzeichnis | 463 | | |